

通用可组合安全的 Mesh 网络认证协议

杨超, 曹春杰, 马建峰

(西安电子科技大学 计算机学院, 陕西 西安 710071)

摘要: 无线 Mesh 网络的现有认证协议不支持双向 802.1X 的认证端口开放. 基于密钥交换协议交换, 利用“通用可组合”安全模型的组合特性与信任传递技术, 在应答消息中安全结合反向认证信息, 实现了满足 Mesh 网络双向认证需求的认证协议, 不仅具有可证明的安全性, 且通信开销较原协议降低 60% 以上.

关键词: Mesh 网络; 通用可组合; 认证协议; 可证明安全

中图分类号: TP309 **文献标识码:** A **文章编号:** 1001-2400(2007)05-0814-04

Universally composable secure authentication protocol for wireless mesh networks

YANG Chao, CAO Chun-jie, MA Jian-feng

(School of Computer, Xidian Univ., Xi'an 710071, China)

Abstract: The authentication protocol of Wireless Mesh Networks does not support 802.1X-based mutual authentication. Based on Diffie-Hellman (DH) exchange and making use of the combination characteristic of the Universally Composable (UC) security model and trust transfer, a new authentication protocol is proposed. Piggybacking opposite direction authentication messages in response, this protocol not only provides two-way authentication for Wireless Mesh Networks but also affords provably UC-security. Furthermore, compared with the original scheme, the communication cost decreases by 60%.

Key Words: mesh networks; UC-security; authentication protocol; provable security

无线网状网^[1]通过 802.1X 和四步握手实现认证者(A)和认证服务器(AS)对申请者(S)的单向认证, 但 Mesh 点接入时需要进行两次 802.1X 认证和四步握手密钥协商, 极大的降低了协议运行效率. 笔者提出了一种新的 Mesh 网接入点(MP)接入认证协议, 只需要 4 轮交互便可实现 S, A 和 AS 3 者之间的相互认证; 该协议还可作为一种扩展认证协议(EAP)协议^[2]扩展到 802.11i 的 EAP 协议族中, 因而不存在兼容性问题. 最后, 基于目前一种流行的认证及密钥交换协议的形式化分析方法——“通用可组合安全模型”^[3], 对笔者所设计的认证协议进行分析并给出了安全性证明.

1 新的 Mesh 网密钥交换协议

新的 Mesh 网密钥交换协议(MKE)的运算定义在一乘法群 Z_p^* 的子群 G 上, G 的阶为素数 q , g 为 G 的生成元. 假定 A 与 AS 间运行 Radius 协议存在安全信道, S 预存储 AS 的证书, 协议进行 4 轮交互完成认证的密钥建立, 执行过程如图 1 所示.

(1) Sid 为当前会话标识符, SK_S, SK_{AS} 分别为 S 和 AS 的长期私钥, D_S, D_A, D_{AS} 分别为 S, A 和 AS 的 MAC 地址, g^x, g^y, g^z 分别为 S, A 和 AS 随机选择的临时公钥用于 DH 交换;

(2) SIG_S, SIG_{AS} 分别为 S 和 AS 产生的消息签名; SIG_S 为 $\{Sid | D_A | D_{AS} | g^x | g^z\}_{SK_S}$, SIG_{AS} 为 $\{Sid | D_A | D_S |$

$$g^z | g^x | g^y \}_{SK_{AS}};$$

(3) MIC_S, MIC_{AS} 分别为 S 和 AS 产生的消息认证码; $MIC_{S,1}$ 为 $\{D_S | SIG_S\}_{K_{S,AS}}$, $MIC_{S,2}$ 为 $\{D_S | D_{AS}\}_{K_{S,A}}$, MIC_A 为 $\{D_A | MIC_{AS}\}_{K_{S,A}}$, MIC_{AS} 为 $\{D_{AS} | SIG_{AS}\}_{K_{S,AS}}$;

(4) $K_{S,AS}, K_{S,A}$ 分别为 S 与 AS, S 与 A 之间产生的共享密钥, 其值采用密钥推导函数 $\text{prf}(\cdot)$, $K_{S,AS}$ 为 $\text{prf}(g^{xz}, D_S, D_{AS})$, $K_{S,A}$ 为 $\text{prf}(g^{xy}, D_S, D_A)$.

2 新协议的安全性证明

Bellare 等人^[4]在 1998 年引入了可证明安全理论模块化的设计思想, 后来由 Canetti 等人^[3,5]进一步扩展, 称之为通用可组合安全(UC)模型. 该模型最优秀的性质就是模块组合思想: 可以单独设计子协议, 只要协议满足 UC 安全, 则可以进行组合构造新的 UC 安全协议, 并保证协议安全性. 这里采用该安全模型来分析、证明所设计的新协议.

2.1 安全假设

定义 1 判定 DH 问题(DDH)假设 设 p 和 q 为大素数, k 为系统的安全参数. q 的长度为 k 比特且 $q | (p-1)$, g 是群 Z_p^* 上阶为 q 的生成元, x, y 和 z 是从 Z_p 中均匀选择的, 则对于任何多项式时间算法 \mathcal{D} , $Q_0 = \{\langle p, q, g, g^x, g^y, g^{xy} \rangle : x, y \xleftarrow{R} Z_q\}$ 和 $Q_1 = \{\langle p, q, g, g^x, g^y, g^z \rangle : x, y, z \xleftarrow{R} Z_q\}$ 的概率分布是计算不可区分的.

2.2 协议的安全性证明

把新协议 π 拆分成两个子协议 π_1 与 π_2 , 主要证明 π_1 的安全性, π_2 的证明同理; 最后说明 π_1 结合 π_2 与 π 等价.

首先构造实现理想函数 F_{sig} 的协议 ρ_s :

协议参与者 P_i 与 P_j , 运行基于签名算法 S 为 $(\text{gen}, \text{sig}, \text{ver})$ 的协议 ρ_s , 进行交互.

(1) P_i 收到输入 $(\text{signer}, \text{sid})$ 后执行算法 gen , 保留的签名密钥 s , 将验证密钥 v 发送给 P_j .

(2) 当 P_j 需要对某消息 m 进行签名, 则将 $(\text{sign}, \text{sid}, m)$ 发送给 P_i ; P_i 令 $\sigma = \text{sig}(s, m)$. 并将 $(\text{signature}, \text{sid}, m, \sigma)$ 发送给 P_j .

(3) 当 P_j 需要对某消息 m 签名进行验证, 则将 $(\text{verify}, \text{sid}, m, \sigma)$ 发送给 P_i ; P_i 则输出 $(\text{verified}, \text{sid}, m, \text{ver}(v, m, \sigma))$ 给 P_j .

引理 1 令 S 为 $(\text{gen}, \text{sig}, \text{ver})$ 是文献[6]描述的签名, 那么协议 ρ_s 对于静态的攻击者, 在真实环境下, 可以安全实现 F_{sig} , 当且仅当 S 是抗击选择消息存在性伪造^[3].

其次, 构造实现密钥交换理想函数 F_{KE} 的协议 π_1 :

(1) 令 p 和 q 为大素数, k 为安全参数, q 长为 k 比特且 $q | (p-1)$, g 是群 Z_p^* 上阶为 q 的生成元, 协议参与者 P_i 与 P_j , 在混合模型 $F_{\text{sig}}\text{-hybrid}$ 中运行协议 π_1 , 进行交互.

(2) 当协议发起者 P_i 得到输入 (P_i, P_j, sid) , 则发送初始化消息 $(\text{signer}, 0, \text{sid})$ 给 F_{sig} ; 同样, 当协议响应者 P_j 得到输入 (P_j, P_i, sid) , 则发送 $(\text{signer}, 1, \text{sid})$ 给 F_{sig} .

(3) P_i 选择一个 $z \xleftarrow{R} Z_q$, 并发送 $(P_i, \text{sid}, \alpha = g^z)$ 给 P_j .

(4) 当 P_j 收到 $(P_i, \text{sid}, \alpha)$, 选择一个 $x \xleftarrow{R} Z_q$, 令 $\beta = g^x$, 并发送 $(\text{sign}, 1, \text{sid}, (\text{sid}, \beta, \alpha))$ 给 F_{sig} ; F_{sig} 返回签名 σ_j 后, P_j 计算 $k_1 = \text{prf}(\alpha^x, \cdot)$ 及 $\gamma = \text{MIC}_{k_1}(\sigma_j)$, 并删除 x , 同时发送 $(\text{sid}, \beta, \sigma_j, \gamma)$ 给 P_i .

(5) 当 P_i 收到 $(\text{sid}, \beta, \sigma_j, \gamma)$, 发送 $(\text{verify}, 1, \text{sid}, P_j, (\text{sid}, \beta, \alpha), \sigma_j)$ 给 F_{sig} , 如果验证通过, 则 P_i 计算 $k'_1 = \text{prf}(\beta^z, \cdot)$ 进一步验证 $\text{MIC}_{k_1}(\sigma_j)$, 如果验证也通过, 则 P_i 发送 $(\text{sign}, 0, \text{sid}, (\text{sid}, \alpha, \beta))$ 给 F_{sig} , F_{sig} 返回

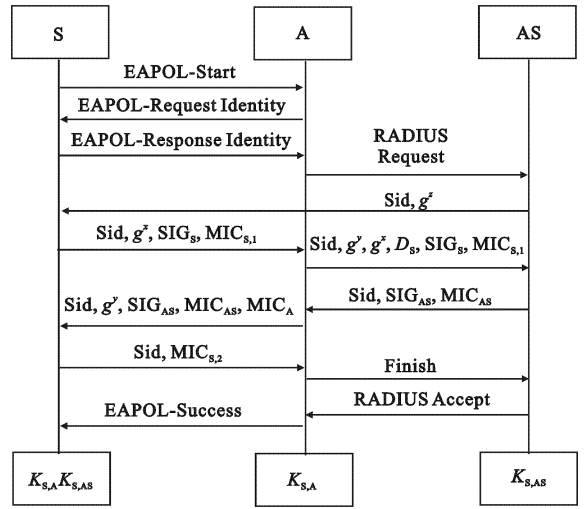


图 1 协议 MKE

签名 σ_i 后, P_j 计算 $\gamma' = \text{MIC}_{k'_1}(\sigma_i)$, 发送 $(\text{sid}, \sigma_i, \gamma')$ 给 P_j . 最后删除 z , 本地输出 $(\text{sid}, P_i, P_j, k'_1)$.

(6) 当 P_j 收到 $(\text{sid}, \sigma_i, \gamma')$, 发送 $(\text{verify}, 0, \text{sid}, P_j, (\text{sid}, \alpha, \beta), \sigma_i)$ 给 F_{sig} , 如果验证通过, 且 $\text{MIC}_{k'_1}(\sigma_i)$ 的验证也通过, 则本地输出 $(\text{sid}, P_j, P_i, k_1)$.

其中 $\text{prf}(\cdot)$ 为密钥推导函数, $\text{MIC}_k(\cdot)$ 为用密钥 k 产生的消息认证码, 其他符号含义同协议 ρ_i .

引理 2 如果 DDH 假设成立, 消息认证码 $\text{MIC}_k(\cdot)$ 的认证算法是安全的, 则协议 π_1 在混合模型 F_{sig} -hybrid 下安全实现了 F_{KE} .

证明 构造一个理想环境下的攻击者 S (仿真器), 使得任何环境机 Z 都不能辨别它是与 H 及 π_1 在 F_{sig} -hybrid 下进行的交互, 还是与 S 及 F_{KE} 在 Ideal-life 下进行的交互. 即, 对任何环境机 Z , 等式 $\text{HYB}_{\pi_1, H, Z}^{F_{\text{sig}}} \approx \text{IDEAL}_{F_{\text{KE}}, S, Z}$ 均成立.

(1) 仿真器 S 的构造: S 运行一个模拟的攻击者 H , 并按下面的规则进行操作:

① 任何从 Z 的输入均传递给 H , 任何 H 的输出将作为 S 的输出使 Z 可以读取;

② 当 S 从 F_{KE} 处收到 $(\text{sid}, P_i, P_j, \text{role})$, 则表明 P_i 发起了密钥交换, 那么让 S 仿真出 F_{sig} 及 F_{sig} -hybrid 下与 H 交互的协议 π_1 , 并给定同样的输入. 并且, S 让 H 和 P_i 按照 π_1 的执行规则与 Z 交互;

③ 为了仿真 π_1 的执行, S 可以激活 F_{sig} 得到相应的签名值 σ ; S 也能计算 $k'' = \text{prf}(r'', \cdot)$ 及 $\gamma'' = \text{MAC}_{k''}(\sigma)$, 其中 r'' 是 F_{KE} 给 P_i 和 P_j 的密钥输出;

④ 当 π_1 中的某个 P_i 需要产生本地输出, 如果对端 P_j 没有被攻陷, 则 S 将 F_{KE} 的输出发送给 P_i ; 如果 P_j 已被攻陷, F_{KE} 会让 S 决定密钥, 而 S 则使用 P_i 前面的输出来确定仿真的 P_i 与 P_j 的本地输出;

⑤ 当 H 执行攻陷 P_i 的操作, S 同样攻陷理想环境下对应的 P_i . 如果 F_{KE} 已经给 P_i 发送了密钥, 则 S 将得到该密钥; 如果 P_i 和 P_j 均没有产生本地输出, 则 S 将其内部状态传递给 H , 包括它们的秘密选值; 如果 P_i 或 P_j 其中一方已经产生了本地输出, 则它们的秘密选值均被擦除, 所以 S 直接将本地的输出的密钥传递给 H .

(2) 仿真器 S 的有效性: 假设在仿真器 S 的执行下, 存在一个环境机 Z' , 成功辨别与 H 及 π_1 在 F_{sig} -hybrid 下进行交互及与 S 及 F_{KE} 在 Ideal-life 下进行交互的概率不可忽略, 即使 $\text{HYB}_{\pi_1, H, Z'}^{F_{\text{sig}}} \neq \text{IDEAL}_{F_{\text{KE}}, S, Z'}$ 成立的概率为 $1/2 + \epsilon$, 且该值远远大于 $1/2$, 其中 ϵ 表示 Z' 的辨别优势. 那么构造一个区分器 D , 利用环境机 Z' 的辨别优势, 来破解 DDH 假设难题, 进而规约到矛盾. 构造的区分器 D 步骤为:

① 选择 $Q \xleftarrow{R} \{Q_0, Q_1\}$ 作为区分器 D 的输入, 记为 $(p, g, \alpha^*, \beta^*, \gamma^*)$;

② 选择 $\tau \xleftarrow{R} \{1, 2, \dots, l\}$, l 为攻击者所能发起的会话数的上届. 然后, 区分器 D 仿真 F_{sig} -hybrid 中协议 π_1 与 H 和 Z 进行交互;

③ 当 H 激活一个参与方建立一个新的会话 $t (t \neq \tau)$ 或者接收一条消息时, D 代表该参与方按照协议 π_1 在 F_{sig} -hybrid 中进行正常交互; 如果 $t = \tau$, 则 D 代表 P_i 向 P_j 发送消息 $(P_i, \text{sid}, \alpha^*)$; 当 P_j 收到 $(P_i, \text{sid}, \alpha^*)$, D 调用 F_{sig} 进行相应计算, 发送 $(\text{sid}, \beta^*, \sigma_j)$ 给 P_i ; 最终, D 让 P_i 与 P_j 本地输出 $(\text{sid}, P_i, P_j, \gamma^*)$;

④ 如果 H 攻陷一个参与方, 则 D 把该参与方的内部状态返回给 H ; 如未被攻陷的参与方是会话 t 的参与方之一, 则 D 输出 $b' \xleftarrow{R} \{0, 1\}$, 并终止;

⑤ 如果 F_{sig} -hybrid 中的协议 π_1 运行完后 Z 输出 b , 则 D 输出 $b' (b' = b)$ 并终止.

分析区分器 D 的执行, 如果其输入 $(p, g, \alpha^*, \beta^*, \gamma^*)$ 是从 Q_0 选出的, 则 γ^* 是 π_1 运行后 P_i 与 P_j 输出的真实密钥, 这种情况下, 环境机 Z' 看到了本地输出, 其视角等同于 F_{sig} -hybrid 下 π_1 与 H 所进行的交互; 如果 $(p, g, \alpha^*, \beta^*, \gamma^*)$ 是从 Q_1 选出的, 则 γ^* 是个随机值, 这种情况下环境机 Z' 的视角则等同于理想模型下 S 与 F_{KE} 所进行的交互 (理想环境下, F_{KE} 发送给 P_i 与 P_j 的密钥恰好是它自己选出的随机值). 根据区分器的构造原理, D 成功区分 Q_0 与 Q_1 的概率等于环境机 Z' 成功辨别理想和混合两种环境的概率, 即, D 能以不可忽略的优势成功区分 Q_0 与 Q_1 , 而这与 DDH 假设矛盾, 所以得证.

引理 3 令 π_1 为 F_{sig} -hybrid 下的协议, ρ_s 为安全实现 F_{sig} 的协议, 那么对于任何攻击者 A 都存在一个攻击者 H , 使得对任何环境机 Z 来说, 等式 $\text{REAL}_{\pi_1, \rho_s, A, Z} \approx \text{HYB}_{\pi_1, H, Z}^{F_{\text{sig}}}$ 均成立, 即, 组合协议 $\pi_1 \circ \rho_s$ 安全仿真了 F_{sig} -hybrid 下的 π_1 [3].

命题 1 真实环境下,组合协议 $\pi_1^{\rho_s}$ 与协议 π_1 等价.

证明 将混合模型 $F_{\text{sig-hybrid}}$ 下协议 π_1 对所有理想函数 $F_{\text{sig(id)}}$ 的访问均替换为对协议 $\rho_{s(\text{id})}$ 的访问,可以得出协议 $\pi_1^{\rho_s}$ 与协议 π_1 等价,得证.

定理 1 真实模型下的协议 π_1 安全实现了理想函数 F_{KE} , 即, 对任何环境机 Z , 等式 $\text{REAL}_{\pi_1, A, Z} \approx \text{IDEAL}_{F_{\text{KE}}, S, Z}$ 均成立.

证明 由引理 1~3 及命题 1 得证.

命题 2 协议 π 与协议 π_1 与 π_2 的结合等价.

证明 在协议 π_1 的第 2,3 条消息中稍带发送协议 π_2 的第 1,2 条消息,可以得出协议 π_1 与 π_2 的组合与新协议 π 等价,得证.

由定理 1 得知,协议 π_1 是“UC 安全”的(π_2 的证明同理),而“UC 安全”理论中一个特点就是能够确保许多的协议实例在并发执行,以及同任意的协议组合时的安全^[3],所以由命题 2 可知协议 π 达到了同样的“UC 安全”.

3 新协议 MKE 的分析

表 1 给出了一个新节点接入时需要进行的计算和通信开销. 其中发送和接收一次消息称为一轮交互, E 表示模指数运算, S 表示计算签名, M 表示计算消息认证码 MIC.

表 1 协议性能对比

协议名称	交互轮数	S 的计算量	A 的计算量	AS 的计算量
EAP-TLS+四步握手	14	2E+1S+4M	2E+1S+4M	4E+2S+2M
新的协议 MKE	4	2E+1S+2M	2E+2M	2E+1S+1M

协议计算量 新协议 MKE 中 S 和 A 的计算量都要略少于 EAP-TLS, 且 AS 的运算量相对于 EAP-TLS 来说则减少了一半, 这对于系统控制者 AS 来说无疑是一个非常大的改善.

协议通信效率 新的 MP 接入时要执行两次“EAP-TLS+四步握手”, 总共需要 14 轮的协议交互; 而新协议只需要 4 轮的交互便可完成相应的功能, 这相对于前者具有较大的优势.

4 结束语

无线 Mesh 网络的现有认证协议不支持双向 802.1X 的认证端口开放. 笔者基于“通用可组合”的安全模型与 DH 交换, 利用组合与信任传递技术设计了一种新的接入认证协议, 不仅满足 Mesh 网络对双向认证的特殊需求, 而且具有可证明的安全性和必要的安全性质, 并且在通信效率和计算开销上优于原协议.

参考文献:

- [1] 段宁, 马建峰. 基于 IEEE802.11b 网卡的 WPA 与 WAPI 集成接入方法[J]. 西安电子科技大学学报, 2006, 33(5): 804-808.
- [2] Aboba B, Simon D. On the Security of Public Key Protocols[J]. IEEE Trans on Information Theory, 1983, 29(2): 198-208.
- [3] Canetti R. Universally Composable Security: a New Paradigm for Cryptographic Protocols[C]//Proceedings of the 42nd IEEE Symposium on Foundations of Computer Science (FOCS). New York: IEEE Press, 2001: 136-145.
- [4] Bellare M, Canetti R, Krawczyk H. A Modular Approach to the Design and Analysis of Authentication and Key-exchange Protocols[C]//Proc of the 30th Annual Symp. on the Theory of Computing. New York: ACM Press, 1998: 419-428.
- [5] Canetti R, Krawczyk H. Security Analysis of IKE's Signature-based Key-exchange Protocol[C]//LNCS2442. Berlin: Springer-Verlag, 2002: 143-161.
- [6] Goldwasser S, Micali S, Rivest R. A Digital Signature Scheme Secure Against Adaptive Chosen-message Attacks[J]. SIAM Journal on Computing, 1998, 17(2): 281-308.